

## Нелинейные гриновские функции в смектиках

Е. А. Бренер<sup>+</sup>, В. И. Марченко<sup>+\*△</sup>

<sup>+</sup> Institut für Festkörperforschung, Forschungszentrum Jülich, D-52425 Jülich, Germany

<sup>\*</sup> Институт физических проблем им. П.Л. Капицы РАН, 119334 Москва Россия

<sup>△</sup> Московский физико-технический институт, 141700 Долгопрудный, Россия

Поступила в редакцию 24 июня 2009 г.

Предложено решение задачи о деформации смектика при приложении к нему уединенной силы. По мере увеличения силы рост амплитуды деформации переходит от линейного к корневому закону.

PACS: 61.30.-v

Уравнение упругого равновесия смектиков

$$\lambda^2 \Delta_{\perp}^2 u - \partial_z^2 u + \partial_z (\partial_{\alpha} u)^2 + (\partial_z u) (\Delta_{\perp} u) - \partial_{\alpha} [(\partial_{\beta} u)^2 \partial_{\alpha} u] / 2 = F(\mathbf{r}) / A \quad (1)$$

получается при варьировании энергии деформаций (44.13) [1]; здесь  $u$  – смещение слоев вдоль оси смектика  $z$ ,  $A$  – модуль упругости,  $\lambda$  – микроскопический параметр длины,  $\partial_{\alpha}$  – вектор градиента в плоскости слоев  $xy$ ,  $\Delta_{\perp} = \partial_{\alpha}^2$ ,  $F(\mathbf{r})$  – плотность внешних сил.

В случае уединенного распределения сил с интегралом  $F$  в линейном приближении далеко от места приложения силы

$$u = h \ln \frac{d}{\rho} - h \int_{\rho^2/\lambda|z|}^{\infty} e^{-\xi/4} \frac{d\xi}{2\xi} \quad (2)$$

(см. [2]), где  $\rho = \sqrt{x^2 + y^2}$ ,  $h = \lambda F / F_c$ ,  $F_c = 4\pi A \lambda^2$ . Асимптотика (2) верна на расстояниях  $|z| \ll L$  и  $\rho \ll d \sim \sqrt{\lambda L}$ , где  $L$  – расстояние от места приложения силы до границы смектика по оси  $z$ . Вне этой области становятся существенны граничные условия.

Однако, как было показано нами ранее [2, 3], в ряде задач малоуглового приближения (1) дальние асимптотики определяются нелинейными эффектами. Это явление в случае краевой дислокации [3] было наблюдаемо Ишикавой и Лаврентовичем [4]. Как мы увидим, решение (2) верно лишь в пределе  $F \ll F_c$  (обычно  $F_c \sim 10^{-5} \div 10^{-4}$  дин).

Покажем, что существует решение нелинейной задачи об уединенной силе в виде  $u = h \ln(d/\rho) + f(v)$ , где  $v = \rho^2/z$  (считаем положительным направление оси  $z$  по направлению  $F$ , при этом  $F, h > 0$ ). Уравнение (1) сводится тогда к виду

$$\left( 16\lambda^2 v \psi'' - v \psi + 4h\psi - 6\psi^2 + \frac{(h-2\psi)^3}{v} \right)' = 0, \quad (3)$$

где  $\psi = v f'$ . Таким образом, имеем

$$16\lambda^2 v \psi'' - v \psi + 4h\psi - 6\psi^2 + \frac{(h-2\psi)^3}{v} = C, \quad (4)$$

где  $C$  – постоянная. Нас интересует решение уравнения (4), не имеющее особенности при  $v \rightarrow 0$ . Нетрудно убедиться, что так будет только при выполнении двух условий  $\psi \rightarrow h/2$  и  $C = h^2/2$ . Введя новые обозначения  $\varphi = \psi/h$ ,  $x = v/h$ , получим

$$\frac{16\lambda^2}{h^2} x \varphi'' = (4\varphi - 2 + x) \left( \frac{(1-2\varphi)^2}{2x} + \varphi \right). \quad (5)$$

Выражение во второй скобке в правой части этого уравнения определяет поле напряжения  $\sigma_{zz}$ , которое должно удовлетворять интегральному соотношению баланса сил  $F_+ + F_- = F$ , где

$$F_{\pm} = \pm \int \sigma_{zz} dS = \pm A \int \left( \frac{(\partial_{\alpha} u)^2}{2} - \partial_z u \right) dS. \quad (6)$$

Интеграл  $F_+$  берется при некотором фиксированном значении  $z > 0$ , а  $F_-$  при  $z < 0$ . В терминах  $\varphi$  имеем

$$F = \pi A h^2 \int_{-\infty}^{+\infty} \left( \frac{(1-2\varphi)^2}{2x} + \varphi \right) dx. \quad (7)$$

Поэтому при  $|x| \gg 1$  решение должно стремиться к одному из нулей этой второй скобки. Поскольку далеко от точки приложения силы наклон смектических слоев должен исчезать, то  $\varphi \rightarrow -1/2x$  при  $|x| \gg 1$ .

В пределе  $h \gg \lambda$  член со второй производной в уравнении (5) существенен лишь в местах резкого изменения функции  $\varphi$ . В остальных областях решение мало отличается от одной из трех функций  $\varphi_0 = (2-x)/4$ ,  $\varphi_{\pm} = \{2-x \pm \sqrt{x(x-4)}\}/4$ , обращающих в нуль правую сторону уравнения (5).

Поведение поля смещения при противоположных знаках  $x$  существенно различно. При  $x > 4$ :  $\varphi \approx \varphi_+$ , а в интервале  $0 < x < 4$ :  $\varphi \approx \varphi_0$ . Вблизи точки  $x = 4$  уравнение (5) можно упростить:  $\eta'' = \eta(\eta^2 - t)$ , где  $\eta = 2^{-1/6}(h/\lambda)^{1/3}(\phi - \phi_0)$ ,  $t = 2^{-8/3}(h/\lambda)^{2/3}(x - 4)$ . Детали поведения функции  $\varphi$  здесь, однако, не важны при вычислении  $F_+$ . Интеграл  $F_+$  набирается в основном в области  $x < 4$  и равен  $F_+ = \pi Ah^2$ .

При  $x < 0$  имеем  $\varphi = \varphi_- + \chi$ , где  $\chi \ll \varphi_-$ . Для вычисления  $F_-$  необходимо нахождение поправки  $\chi$ . При  $|x| \gg (\lambda/h)^2$  левую часть уравнения (5) можно рассматривать как возмущение. Тогда  $\chi = (4\lambda/h)^2(-x)^{-1/2}(4-x)^{-5/2}$ . При этом интеграл  $F_-$  на малых  $x$  логарифмически расходится,  $F_- = \pi A\lambda^2\{2 \ln(2h/\lambda) - 1 + c\}$ . Число  $c$  определяется решением на масштабах  $|x| \sim (\lambda/h)^2$ , где теория возмущений неприменима. Уравнение (5) здесь упрощается к виду  $t^2\eta'' = \eta(\eta^2 - t)$ , где  $\eta = h(\varphi - \varphi_0)/\sqrt{2}\lambda$ ,  $t = -h^2x/8\lambda^2$ . Численное решение дает  $c \approx 1$ .

Таким образом, в балансе сил  $F \gg F_c$  эффектом растяжения при  $z < 0$  можно пренебречь по сравнению с эффектом сжатия  $\pi Ah^2 \approx F$  при  $z > 0$ . В результате получаем закон  $h = \sqrt{F/\pi A}$ .

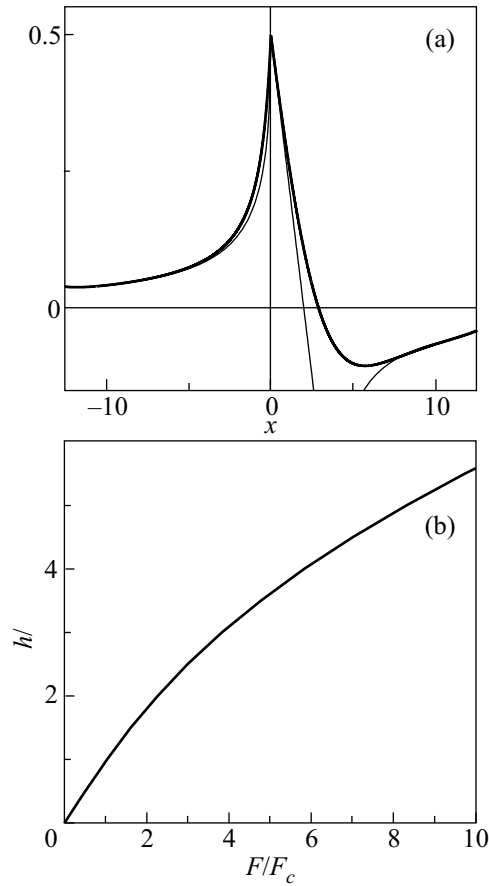
Поле смещения легко восстанавливается по функциям  $\varphi_0, \varphi_{\pm}$ . В обычных переменных при  $z > 0$  и  $\rho > 2\sqrt{hz}$ , а также при  $z < 0$  и  $\rho \gg \lambda\sqrt{|z|/h}$

$$u = h \ln \frac{2d}{\sqrt{\rho^2 - 4hz} + \rho} + \frac{\rho}{4z} \left( \sqrt{\rho^2 - 4hz} - \rho \right) + \frac{h}{2}.$$

При  $z > 0$   $u = h \ln(d/\sqrt{hz}) - \rho^2/4z + h/2$  в интервале  $0 < \rho < 2\sqrt{hz}$ , а при  $z < 0$  на расстояниях  $\rho \sim \lambda\sqrt{|z|/h}$  происходит переход к  $u = h \ln(d/\sqrt{h|z|}) + h/2$  при  $\rho \ll \lambda\sqrt{|z|/h}$ . Полученная асимптотика поля смещения верна при  $|z| \ll L$  и  $\rho \ll d \sim \sqrt{hL}$ .

При  $0 < F < 10F_c$  задача была решена численно (см. рисунок) методом стрельбы из точки  $x = 0$ , вблизи которой  $\varphi = 1/2 + \gamma x$ . Параметр  $\gamma$  (различный при разных знаках  $x$ ) подбирался так, чтобы получалась правильная асимптотика  $\varphi = -1/2x$  при больших  $|x|$ .

Заметим, что профиль смектического слоя при  $z = 0$  есть  $u = h \ln(d/\rho)$ , причем здесь  $\sigma_{zz} = 0$  вне точки приложения силы ( $\rho = 0$ ). Поэтому результаты можно перенести на задачу о силе, действующей на базисную поверхность смектика. Действительно, деформация поверхности обычной жидкости под действием силы  $F_s$  есть  $u = (F_s/2\pi\sigma) \ln(R/\rho)$ , где  $\sigma$  – поверхностное натяжение (жидкость занимает полупространство  $z < 0$ ). В смектике сила  $F$  разлагается на поверхностную и объемную. Поверхност-



(а) Жирная кривая – функция  $\varphi(x)$  при  $h = 4\lambda$ ; тонкая кривая – аналитический предел при  $h \gg \lambda$ , заметим, что в линейном приближении (2) функция симметрична:  $\varphi = 0.5 \exp(-h|x|/4\lambda)$ . (б) Зависимость  $h(F)$

ная часть  $F_s$  уравнивается поверхностным натяжением, так же, как и в обычной жидкости (отметим, что на базисной поверхности смектика, и только на ней, поверхностное натяжение равно поверхностной энергии). Из условия совпадения двух выражений для профиля поверхности находим  $F_s = 2\pi\sigma h$  и  $R = d$ .

В линейном приближении объемная часть силы  $F_v = 2\pi A\lambda h$  (теперь деформации возникают только в половине пространства). Таким образом,  $2\pi\sigma h + 2\pi A\lambda h = F$  и амплитуда профиля поверхности просто меняет знак при смене знака силы. По мере роста силы поведение смектика становится асимметричным. При приложении большой силы, направленной внутрь смектика (сжатие:  $F < 0$ ,  $h < 0$ ), имеем  $2\pi\sigma h - \pi Ah^2 = F$ . Если же сила направлена в противоположную сторону (растяжение:  $F > 0$ ,  $h > 0$ ), то  $2\pi\sigma h + 2\pi A\lambda^2 \ln(2h/\lambda) = F$ .

Благодарим Е.И. Каца и Д.А. Пилипенко за полезное обсуждение. Работа выполнена при поддержке

German-Israeli Foundation и Российского фонда фундаментальных исследований, грант # 09-02-00483.

1. Л. Д. Ландау, Е. М. Лифшиц, *Теория упругости*, М.: Наука, 1987.

2. Е. А. Бренер, В. И. Марченко, Письма в ЖЭТФ **86**, 446 (2007).
3. E. A. Brener and V. I. Marchenko, Phys. Rev. E **59**, R4752 (1999).
4. T. Ishikawa, O. L. Lavrentovich, Phys. Rev. E **60**, R5037 (1999).